

Eingabe: Farbmétrisches Offset-Reflektiv-System ORS18a

für Bunnton $h^* = lab^*h = 38/360 = 0.105$

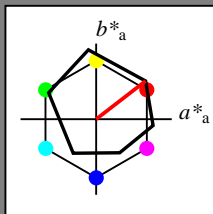
lab^*tch und lab^*nch

D65: Bunnton O

LCH*Ma: 48 83 38

olv*Ma: 1.0 0.0 0.0

Dreiecks-Helligkeit t^*



ORS18a; adaptierte CIELAB-Daten

	$L^*=L^*_a$	a^*_a	b^*_a	$C^*_{ab,a}$	$h^*_{ab,a}$
O _{Ma}	47.94	65.39	50.52	82.63	38
Y _{Ma}	90.37	-10.26	91.75	92.32	96
L _{Ma}	50.9	-62.83	34.96	71.91	151
C _{Ma}	58.62	-30.34	-45.01	54.3	236
V _{Ma}	25.72	31.1	-44.4	54.22	305
M _{Ma}	48.13	75.28	-8.36	75.74	354
N _{Ma}	18.01	0.0	0.0	0.0	0
W _{Ma}	95.41	0.0	0.0	0.0	0
RCIE	39.92	58.66	26.98	64.57	25
JCIE	81.26	-2.16	67.76	67.79	92
GCIE	52.23	-42.25	11.76	43.87	164
BCIE	30.57	1.15	-46.84	46.86	271

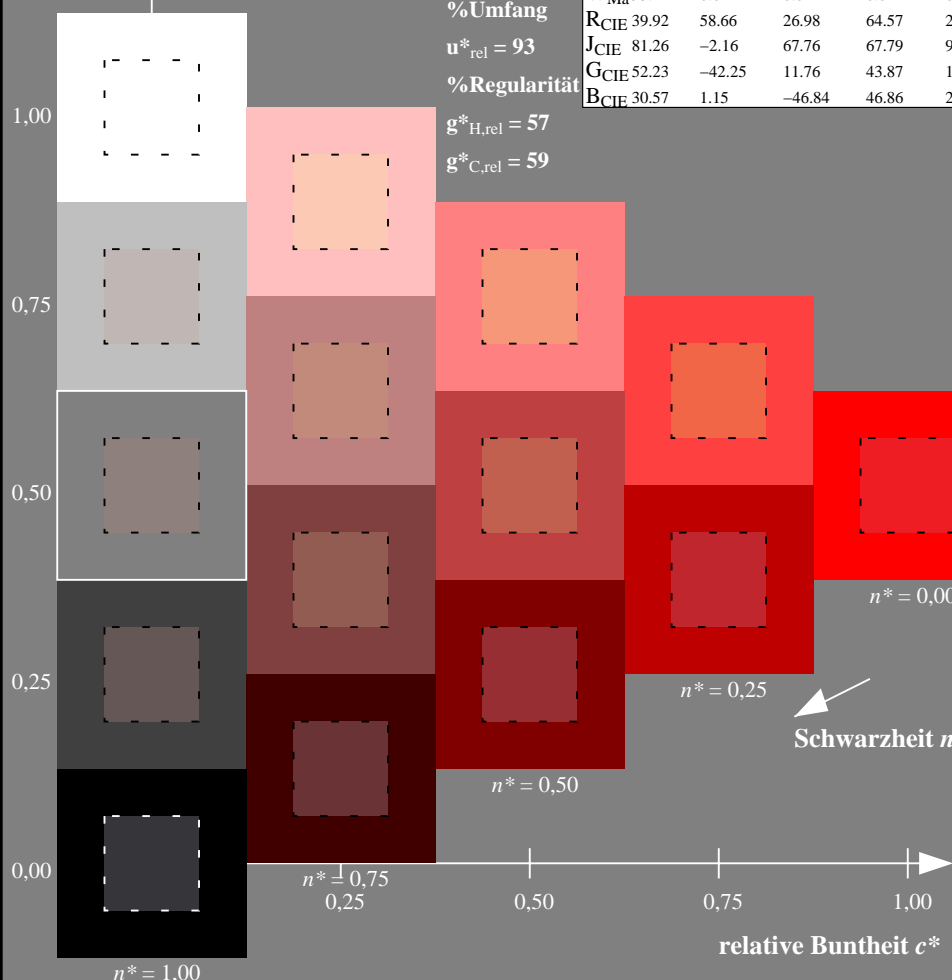
%Umfang

$u^*_{rel} = 93$

%Regularität

$g^*_{H,rel} = 57$

$g^*_{C,rel} = 59$



XG620-7N, stufige Reihen für konstanten CIELAB Bunnton 38/360 = 0.105 (links)

Ausgabe: Farbmétrisches Offset-Reflektiv-System ORS18a

für Bunnton $h^* = lab^*h = 38/360 = 0.105$

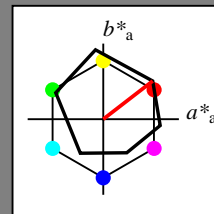
lab^*tch und lab^*nch

D65: Bunnton O

LCH*Ma: 48 83 38

olv*Ma: 1.0 0.0 0.0

Dreiecks-Helligkeit t^*



ORS18a; adaptierte CIELAB-Daten

	$L^*=L^*_a$	a^*_a	b^*_a	$C^*_{ab,a}$	$h^*_{ab,a}$
O _{Ma}	47.94	65.39	50.52	82.63	38
Y _{Ma}	90.37	-10.26	91.75	92.32	96
L _{Ma}	50.9	-62.83	34.96	71.91	151
C _{Ma}	58.62	-30.34	-45.01	54.3	236
V _{Ma}	25.72	31.1	-44.4	54.22	305
M _{Ma}	48.13	75.28	-8.36	75.74	354
N _{Ma}	18.01	0.0	0.0	0.0	0
W _{Ma}	95.41	0.0	0.0	0.0	0
RCIE	39.92	58.66	26.98	64.57	25
JCIE	81.26	-2.16	67.76	67.79	92
GCIE	52.23	-42.25	11.76	43.87	164
BCIE	30.57	1.15	-46.84	46.86	271

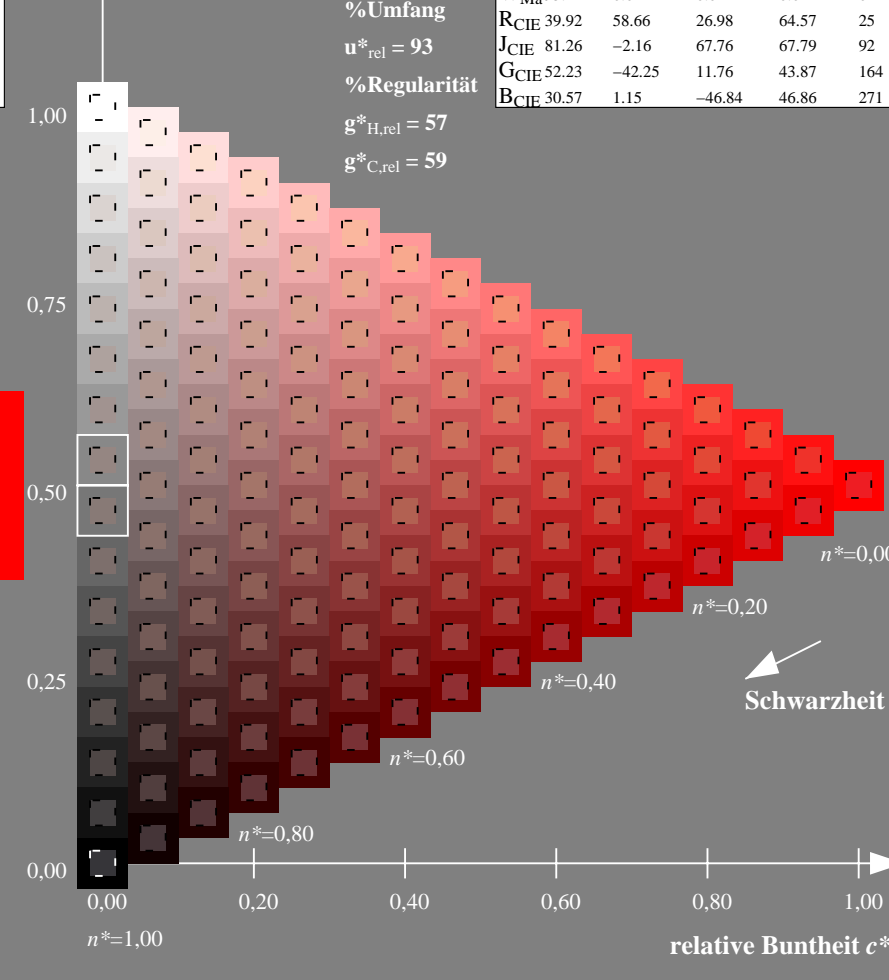
%Umfang

$u^*_{rel} = 93$

%Regularität

$g^*_{H,rel} = 57$

$g^*_{C,rel} = 59$



16stufige Reihen für konstanten CIELAB Bunnton 38/360 = 0.105 (rechts)

Eingabe: Farbmetrisches Offset-Refektiv-System ORS18a

für Bunnton $h^* = lab^*h = 96/360 = 0.268$

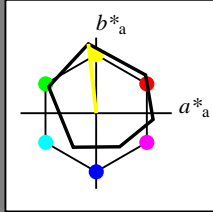
lab^*tch und lab^*nch

D65: Bunnton Y

LCH*Ma: 90 92 96

olv*Ma: 1.0 1.0 0.0

Dreiecks-Helligkeit t^*



ORS18a; adaptierte CIELAB-Daten

	$L^*=L^*_a$	a^*_a	b^*_a	$C^*_{ab,a}$	$h^*_{ab,a}$
O _{Ma}	47.94	65.39	50.52	82.63	38
Y _{Ma}	90.37	-10.26	91.75	92.32	96
L _{Ma}	50.9	-62.83	34.96	71.91	151
C _{Ma}	58.62	-30.34	-45.01	54.3	236
V _{Ma}	25.72	31.1	-44.4	54.22	305
M _{Ma}	48.13	75.28	-8.36	75.74	354
N _{Ma}	18.01	0.0	0.0	0.0	0
W _{Ma}	95.41	0.0	0.0	0.0	0
RCIE	39.92	58.66	26.98	64.57	25
J _{CIE}	81.26	-2.16	67.76	67.79	92
G _{CIE}	52.23	-42.25	11.76	43.87	164
BCIE	30.57	1.15	-46.84	46.86	271

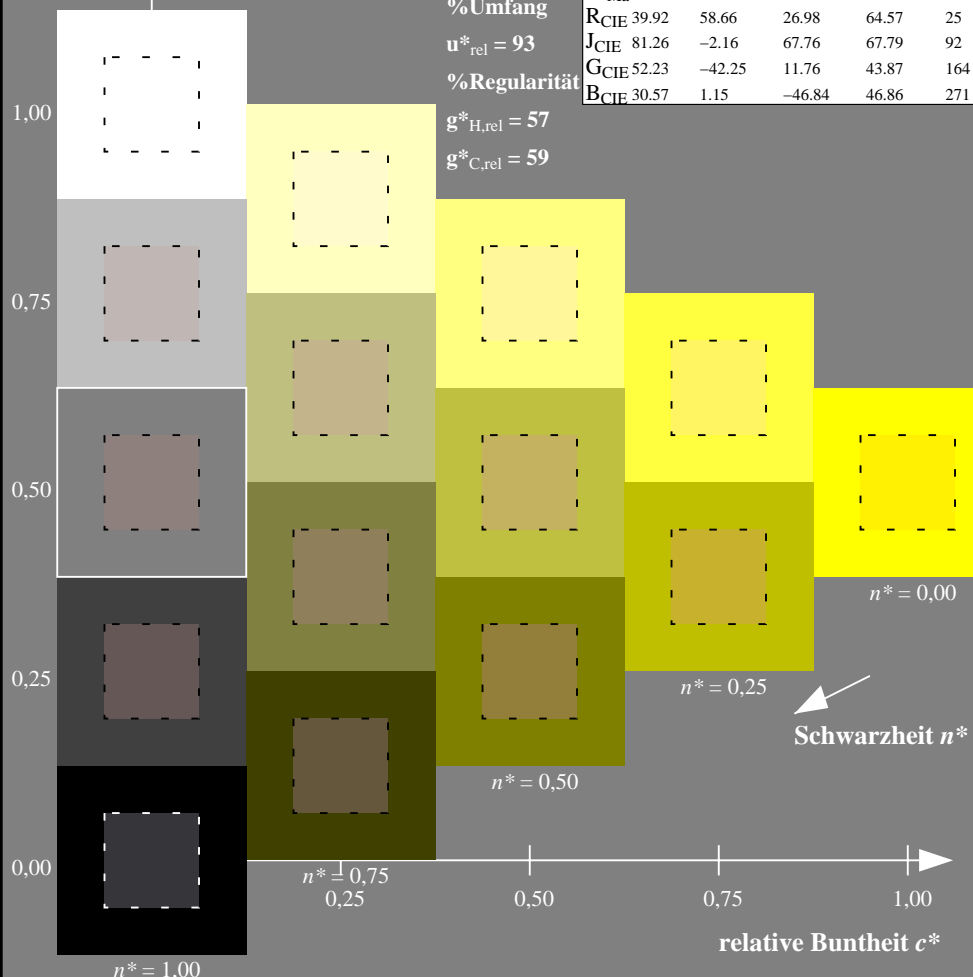
%Umfang

$u^*_{rel} = 93$

%Regularität

$g^*_{H,rel} = 57$

$g^*_{C,rel} = 59$



XG620-7N, stufige Reihen für konstanten CIELAB Bunnton 96/360 = 0.268 (links)

Ausgabe: Farbmetrisches Offset-Refektiv-System ORS18a

für Bunnton $h^* = lab^*h = 96/360 = 0.268$

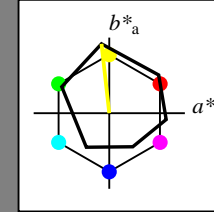
lab^*tch und lab^*nch

D65: Bunnton Y

LCH*Ma: 90 92 96

olv*Ma: 1.0 1.0 0.0

Dreiecks-Helligkeit t^*



ORS18a; adaptierte CIELAB-Daten

	$L^*=L^*_a$	a^*_a	b^*_a	$C^*_{ab,a}$	$h^*_{ab,a}$
O _{Ma}	47.94	65.39	50.52	82.63	38
Y _{Ma}	90.37	-10.26	91.75	92.32	96
L _{Ma}	50.9	-62.83	34.96	71.91	151
C _{Ma}	58.62	-30.34	-45.01	54.3	236
V _{Ma}	25.72	31.1	-44.4	54.22	305
M _{Ma}	48.13	75.28	-8.36	75.74	354
N _{Ma}	18.01	0.0	0.0	0.0	0
W _{Ma}	95.41	0.0	0.0	0.0	0
RCIE	39.92	58.66	26.98	64.57	25
J _{CIE}	81.26	-2.16	67.76	67.79	92
G _{CIE}	52.23	-42.25	11.76	43.87	164
BCIE	30.57	1.15	-46.84	46.86	271

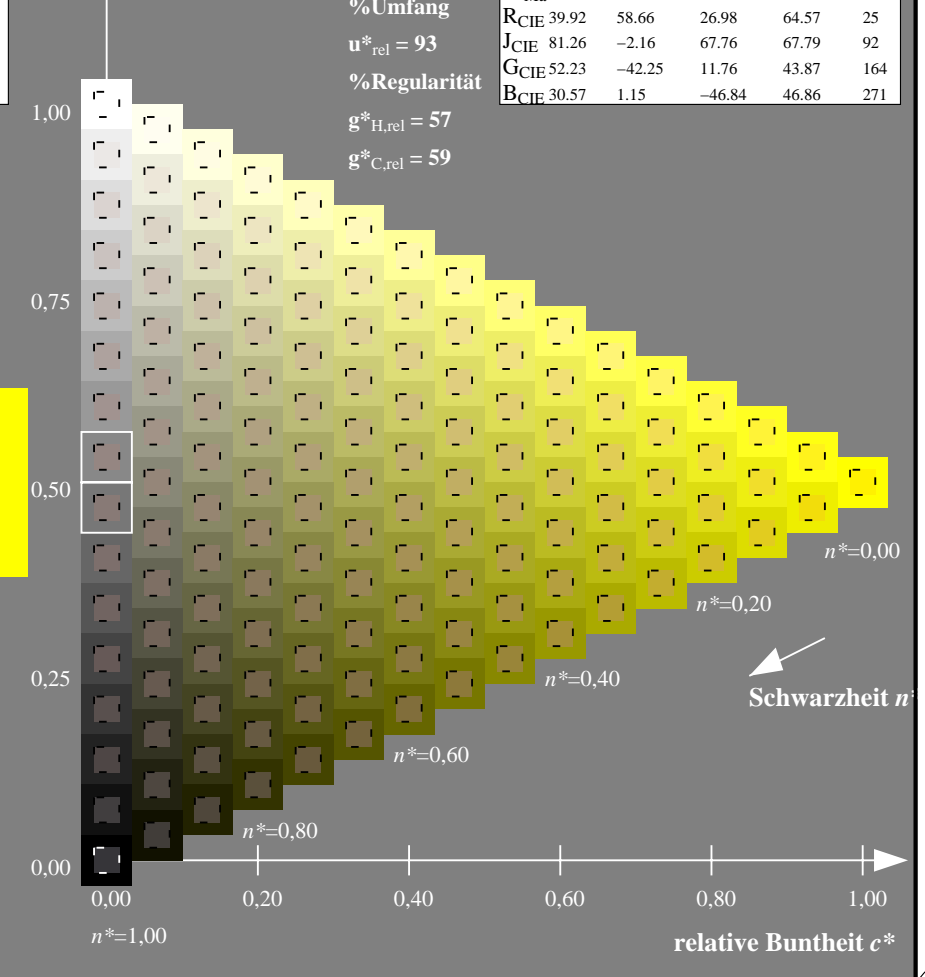
%Umfang

$u^*_{rel} = 93$

%Regularität

$g^*_{H,rel} = 57$

$g^*_{C,rel} = 59$



16stufige Reihen für konstanten CIELAB Bunnton 96/360 = 0.268 (rechts)

Eingabe: Farbmétrisches Offset-Reflektiv-System ORS18a

für Bunnton $h^* = lab^*h = 151/360 = 0.419$

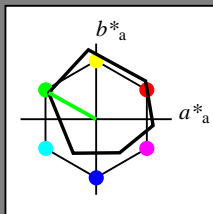
lab^*tch und lab^*nch

D65: Bunnton L

LCH*Ma: 51 72 151

olv*Ma: 0.0 1.0 0.0

Dreiecks-Helligkeit t^*



ORS18a; adaptierte CIELAB-Daten

	$L^*=L^*_a$	a^*_a	b^*_a	$C^*_{ab,a}$	$h^*_{ab,a}$
O _{Ma}	47.94	65.39	50.52	82.63	38
Y _{Ma}	90.37	-10.26	91.75	92.32	96
L _{Ma}	50.9	-62.83	34.96	71.91	151
C _{Ma}	58.62	-30.34	-45.01	54.3	236
V _{Ma}	25.72	31.1	-44.4	54.22	305
M _{Ma}	48.13	75.28	-8.36	75.74	354
N _{Ma}	18.01	0.0	0.0	0.0	0
W _{Ma}	95.41	0.0	0.0	0.0	0
RCIE	39.92	58.66	26.98	64.57	25
JCIE	81.26	-2.16	67.76	67.79	92
GCIE	52.23	-42.25	11.76	43.87	164
BCIE	30.57	1.15	-46.84	46.86	271

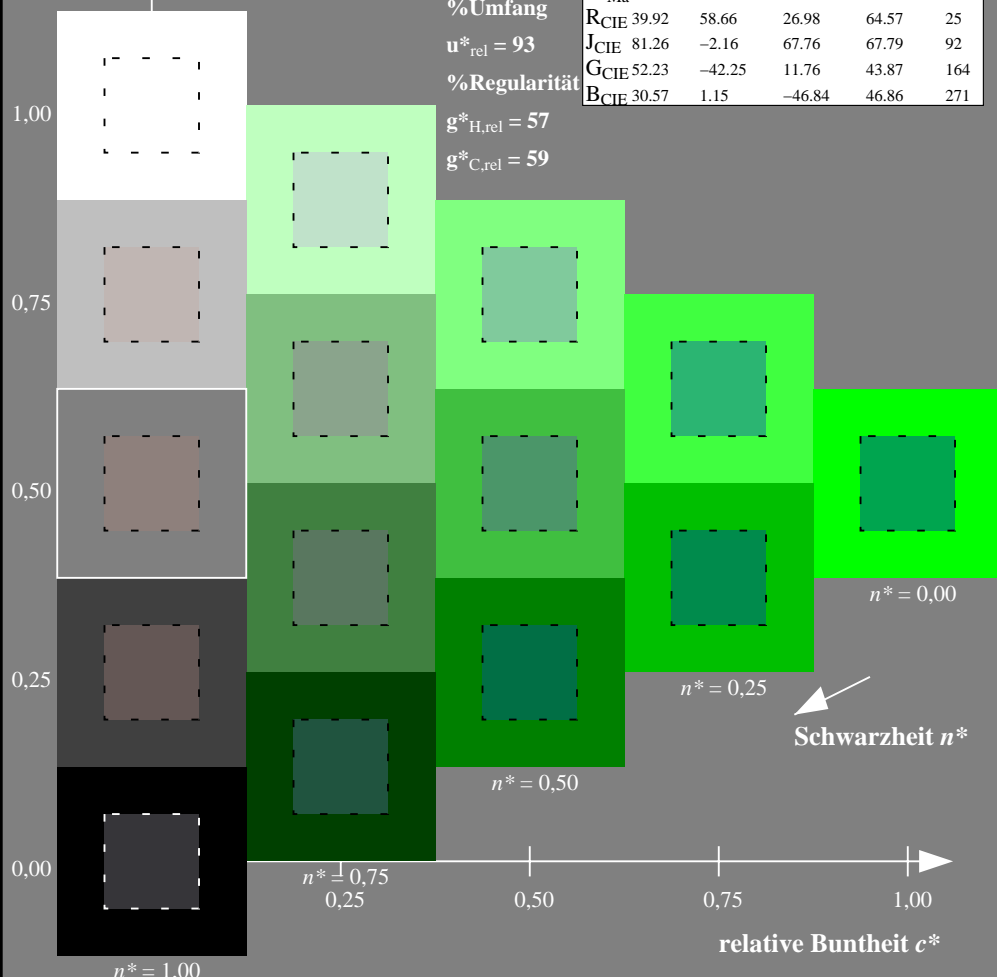
%Umfang

$u^*_{rel} = 93$

%Regularität

$g^*_{H,rel} = 57$

$g^*_{C,rel} = 59$



XG620-7N, stufige Reihen für konstanten CIELAB Bunnton 151/360 = 0.419 (links)

BAM-Prüfvorlage XG62; Relative Farbwiedergabe, ORS18
 Gleichheit für zwei Farbdefinitionen, Seite 3/11 (L)

Ausgabe: Farbmétrisches Offset-Reflektiv-System ORS18a

für Bunnton $h^* = lab^*h = 151/360 = 0.419$

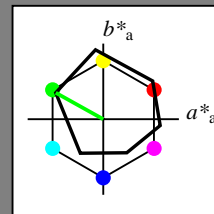
lab^*tch und lab^*nch

D65: Bunnton L

LCH*Ma: 51 72 151

olv*Ma: 0.0 1.0 0.0

Dreiecks-Helligkeit t^*



ORS18a; adaptierte CIELAB-Daten

	$L^*=L^*_a$	a^*_a	b^*_a	$C^*_{ab,a}$	$h^*_{ab,a}$
O _{Ma}	47.94	65.39	50.52	82.63	38
Y _{Ma}	90.37	-10.26	91.75	92.32	96
L _{Ma}	50.9	-62.83	34.96	71.91	151
C _{Ma}	58.62	-30.34	-45.01	54.3	236
V _{Ma}	25.72	31.1	-44.4	54.22	305
M _{Ma}	48.13	75.28	-8.36	75.74	354
N _{Ma}	18.01	0.0	0.0	0.0	0
W _{Ma}	95.41	0.0	0.0	0.0	0
RCIE	39.92	58.66	26.98	64.57	25
JCIE	81.26	-2.16	67.76	67.79	92
GCIE	52.23	-42.25	11.76	43.87	164
BCIE	30.57	1.15	-46.84	46.86	271

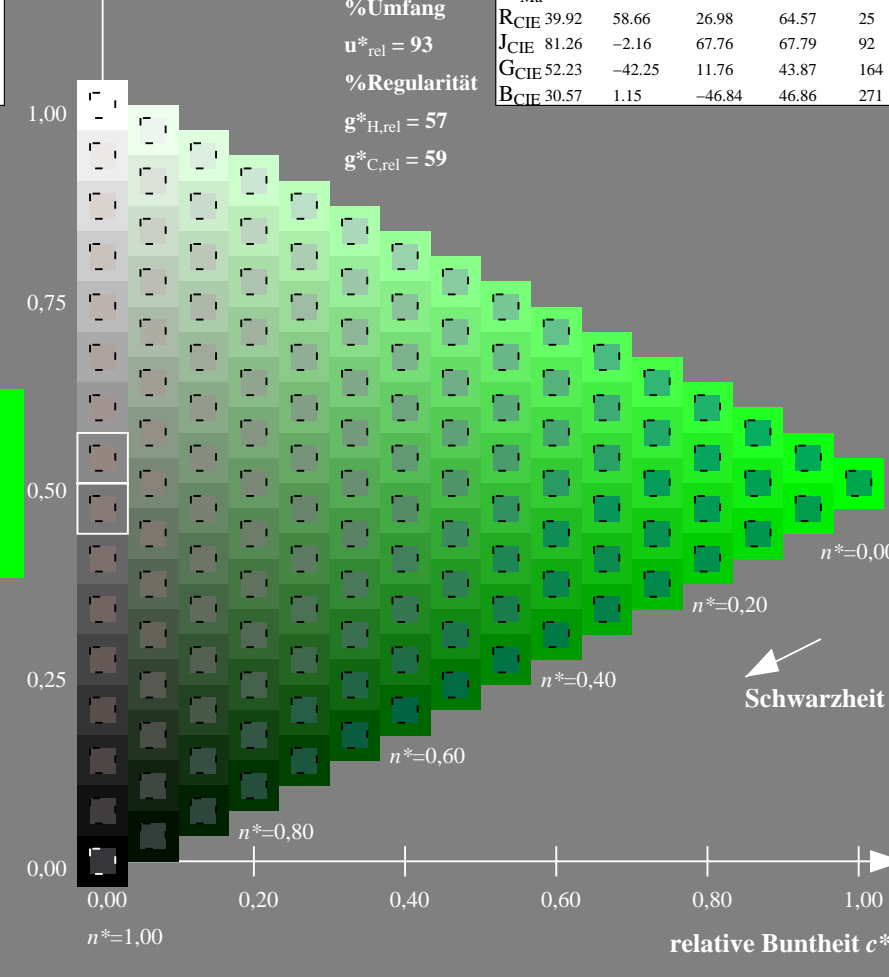
%Umfang

$u^*_{rel} = 93$

%Regularität

$g^*_{H,rel} = 57$

$g^*_{C,rel} = 59$



16stufige Reihen für konstanten CIELAB Bunnton 151/360 = 0.419 (rechts)

Eingabe: $cmY0$ -Infeld, rgb -Umfeld
 Ausgabe: keine Eingabeänderung

Siehe ähnliche Dateien: <http://www.ps.bam.de/XG62/>; www.ps.bam.de/XG.HTM
 Technische Information: <http://www.ps.bam.de> Version 2.1, 10=1,1

BAM-Registrierung: 20070301-XG62/10P/P62G02NA.PS/.TXT BAM-Material: Code=rh4ta
 Anwendung für Ausgabe von Monitor-, Datenprojektor- oder Druckersystemen

Eingabe: Farbmetrisches Offset-Refektiv-System ORS18a

für Bunnton $h^* = lab^*h = 236/360 = 0.656$

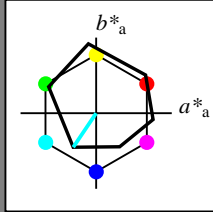
lab^*ch und lab^*nc

D65: Bunnton C

LCH*Ma: 59 54 236

olv*Ma: 0.0 1.0 1.0

Dreiecks-Helligkeit t^*



ORS18a; adaptierte CIELAB-Daten

	$L^*=L^*_a$	a^*_a	b^*_a	$C^*_{ab,a}$	$h^*_{ab,a}$
O _{Ma}	47.94	65.39	50.52	82.63	38
Y _{Ma}	90.37	-10.26	91.75	92.32	96
L _{Ma}	50.9	-62.83	34.96	71.91	151
C _{Ma}	58.62	-30.34	-45.01	54.3	236
V _{Ma}	25.72	31.1	-44.4	54.22	305
M _{Ma}	48.13	75.28	-8.36	75.74	354
N _{Ma}	18.01	0.0	0.0	0.0	0
W _{Ma}	95.41	0.0	0.0	0.0	0
RCIE	39.92	58.66	26.98	64.57	25
JCIE	81.26	-2.16	67.76	67.79	92
GCIE	52.23	-42.25	11.76	43.87	164
BCIE	30.57	1.15	-46.84	46.86	271

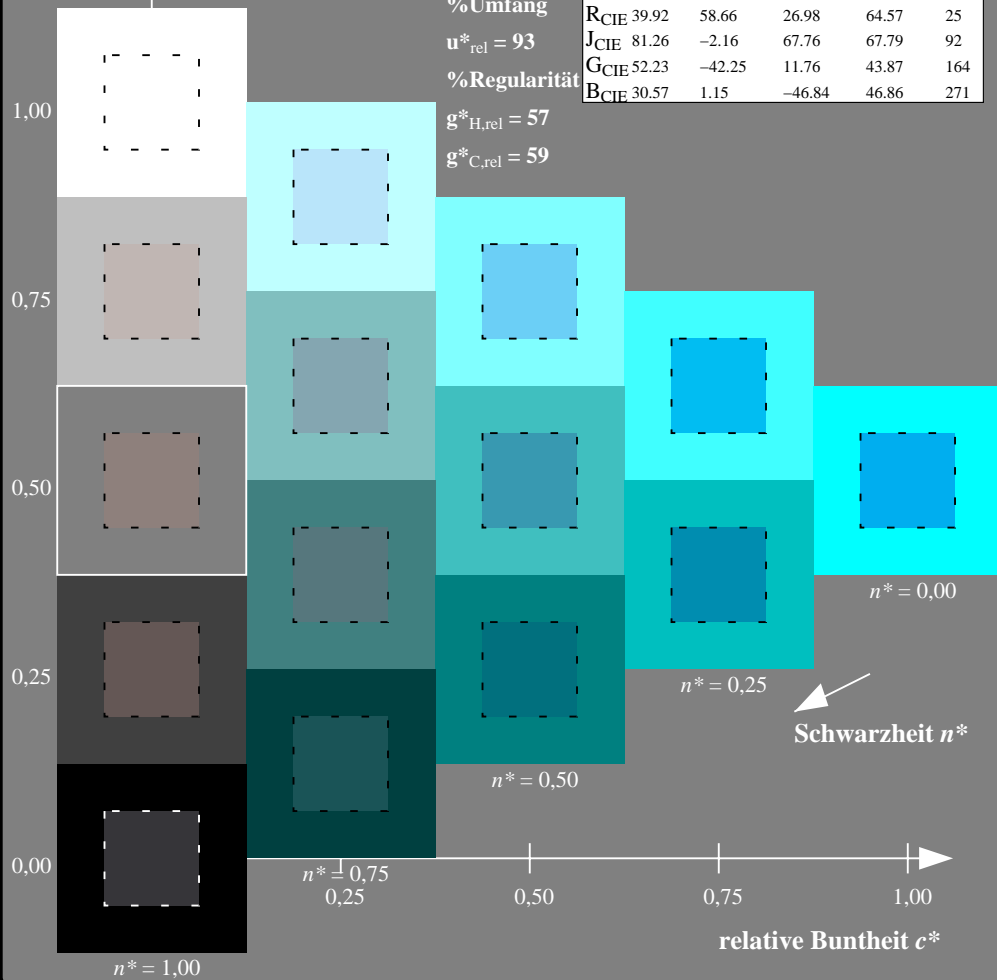
%Umfang

$u^*_{rel} = 93$

%Regularität

$g^*_{H,rel} = 57$

$g^*_{C,rel} = 59$



XG620-7N, stufige Reihen für konstanten CIELAB Bunnton 236/360 = 0.656 (links)

Ausgabe: Farbmetrisches Offset-Refektiv-System ORS18a

für Bunnton $h^* = lab^*h = 236/360 = 0.656$

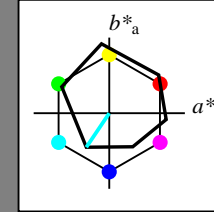
lab^*ch und lab^*nc

D65: Bunnton C

LCH*Ma: 59 54 236

olv*Ma: 0.0 1.0 1.0

Dreiecks-Helligkeit t^*



ORS18a; adaptierte CIELAB-Daten

	$L^*=L^*_a$	a^*_a	b^*_a	$C^*_{ab,a}$	$h^*_{ab,a}$
O _{Ma}	47.94	65.39	50.52	82.63	38
Y _{Ma}	90.37	-10.26	91.75	92.32	96
L _{Ma}	50.9	-62.83	34.96	71.91	151
C _{Ma}	58.62	-30.34	-45.01	54.3	236
V _{Ma}	25.72	31.1	-44.4	54.22	305
M _{Ma}	48.13	75.28	-8.36	75.74	354
N _{Ma}	18.01	0.0	0.0	0.0	0
W _{Ma}	95.41	0.0	0.0	0.0	0
RCIE	39.92	58.66	26.98	64.57	25
JCIE	81.26	-2.16	67.76	67.79	92
GCIE	52.23	-42.25	11.76	43.87	164
BCIE	30.57	1.15	-46.84	46.86	271

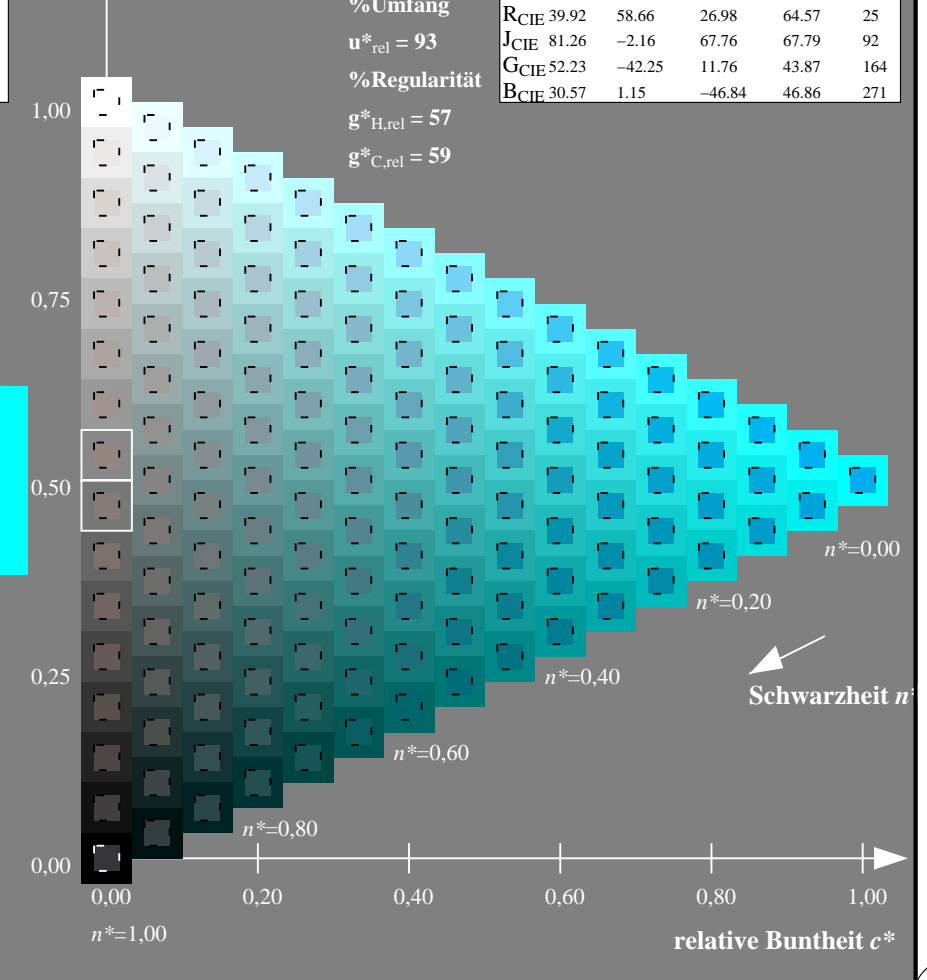
%Umfang

$u^*_{rel} = 93$

%Regularität

$g^*_{H,rel} = 57$

$g^*_{C,rel} = 59$



16stufige Reihen für konstanten CIELAB Bunnton 236/360 = 0.656 (rechts)

Eingabe: Farbmetrisches Offset-Reflexiv-System ORS18a

für Bunnton $h^* = lab^*h = 305/360 = 0.847$

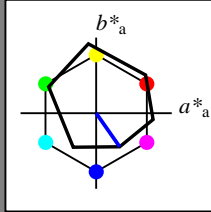
lab^*tch und lab^*nch

D65: Bunnton V

LCH*Ma: 26 54 305

olv*Ma: 0.0 0.0 1.0

Dreiecks-Helligkeit t^*



ORS18a; adaptierte CIELAB-Daten

	$L^*=L^*_a$	a^*_a	b^*_a	$C^*_{ab,a}$	$h^*_{ab,a}$
O _{Ma}	47.94	65.39	50.52	82.63	38
Y _{Ma}	90.37	-10.26	91.75	92.32	96
L _{Ma}	50.9	-62.83	34.96	71.91	151
C _{Ma}	58.62	-30.34	-45.01	54.3	236
V _{Ma}	25.72	31.1	-44.4	54.22	305
M _{Ma}	48.13	75.28	-8.36	75.74	354
N _{Ma}	18.01	0.0	0.0	0.0	0
W _{Ma}	95.41	0.0	0.0	0.0	0
RCIE	39.92	58.66	26.98	64.57	25
JCIE	81.26	-2.16	67.76	67.79	92
GCIE	52.23	-42.25	11.76	43.87	164
BCIE	30.57	1.15	-46.84	46.86	271

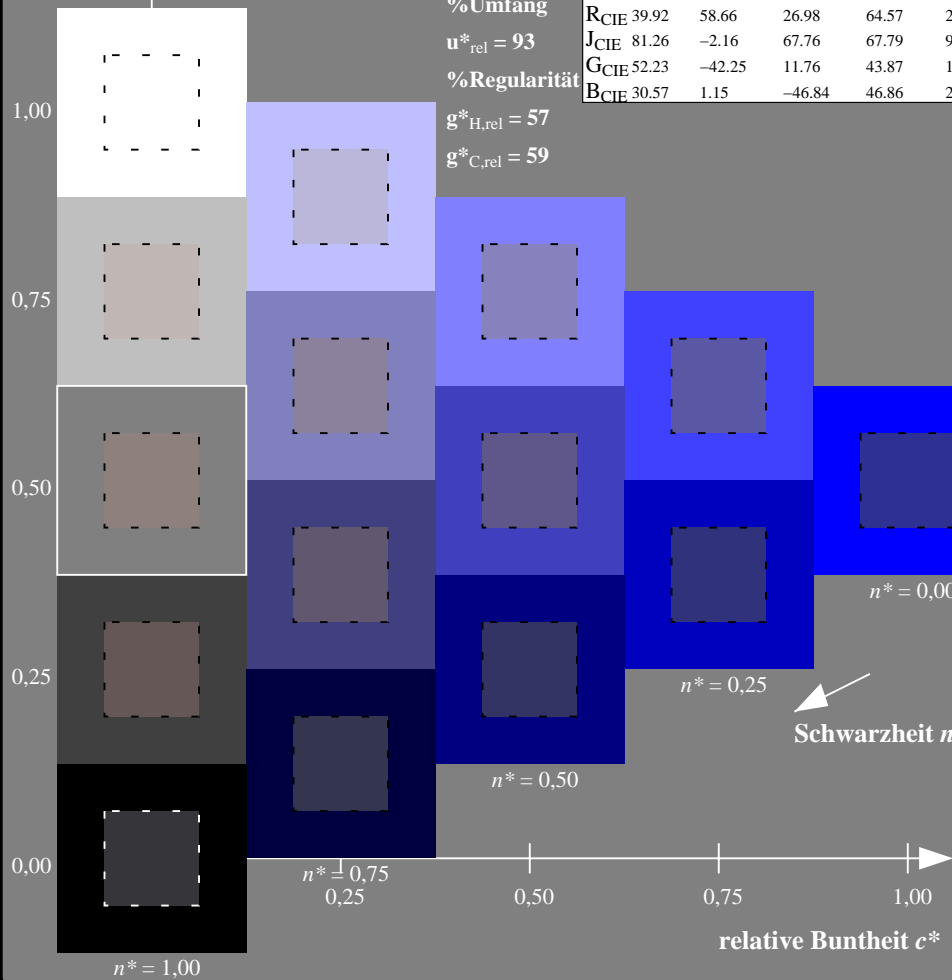
%Umfang

$u^*_{rel} = 93$

%Regularität

$g^*_{H,rel} = 57$

$g^*_{C,rel} = 59$



XG620-7N, stufige Reihen für konstanten CIELAB Bunnton 305/360 = 0.847 (links)

Ausgabe: Farbmetrisches Offset-Reflexiv-System ORS18a

für Bunnton $h^* = lab^*h = 305/360 = 0.847$

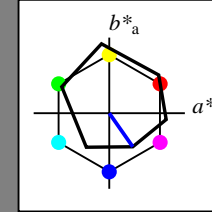
lab^*tch und lab^*nch

D65: Bunnton V

LCH*Ma: 26 54 305

olv*Ma: 0.0 0.0 1.0

Dreiecks-Helligkeit t^*



ORS18a; adaptierte CIELAB-Daten

	$L^*=L^*_a$	a^*_a	b^*_a	$C^*_{ab,a}$	$h^*_{ab,a}$
O _{Ma}	47.94	65.39	50.52	82.63	38
Y _{Ma}	90.37	-10.26	91.75	92.32	96
L _{Ma}	50.9	-62.83	34.96	71.91	151
C _{Ma}	58.62	-30.34	-45.01	54.3	236
V _{Ma}	25.72	31.1	-44.4	54.22	305
M _{Ma}	48.13	75.28	-8.36	75.74	354
N _{Ma}	18.01	0.0	0.0	0.0	0
W _{Ma}	95.41	0.0	0.0	0.0	0
RCIE	39.92	58.66	26.98	64.57	25
JCIE	81.26	-2.16	67.76	67.79	92
GCIE	52.23	-42.25	11.76	43.87	164
BCIE	30.57	1.15	-46.84	46.86	271

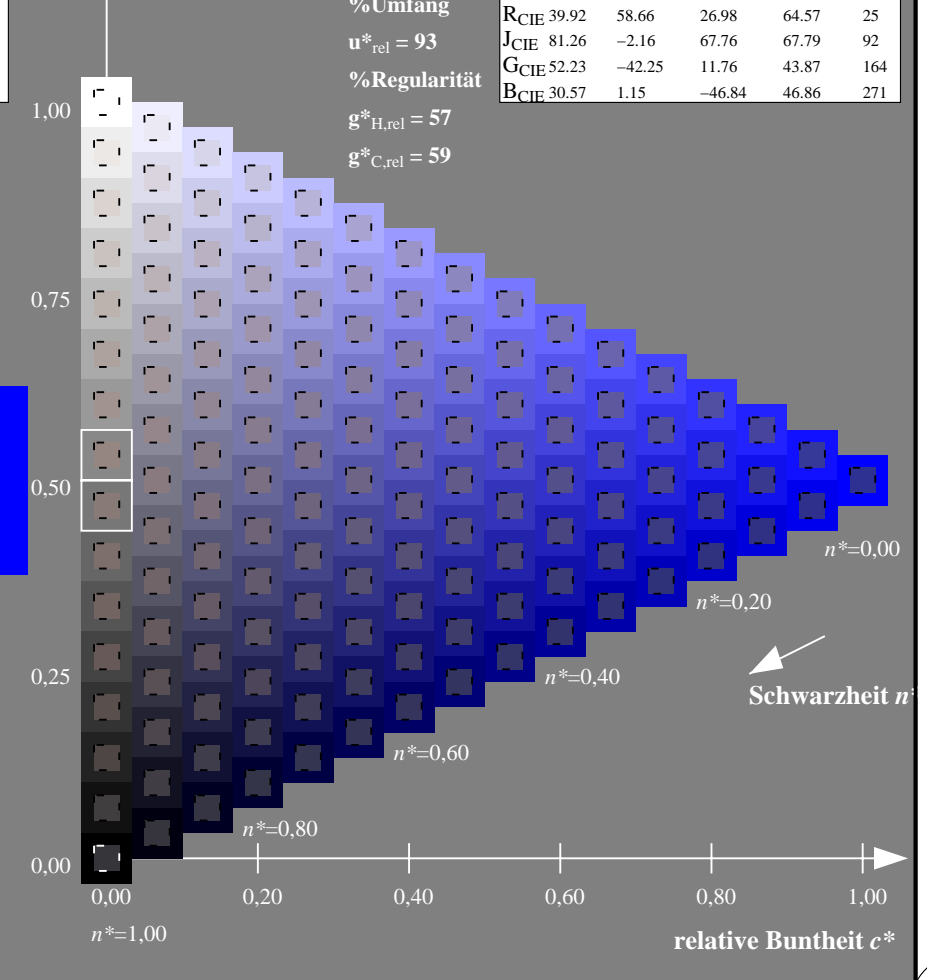
%Umfang

$u^*_{rel} = 93$

%Regularität

$g^*_{H,rel} = 57$

$g^*_{C,rel} = 59$



16stufige Reihen für konstanten CIELAB Bunnton 305/360 = 0.847 (rechts)

Eingabe: Farbmetrisches Offset-Refektiv-System ORS18a

für Bunnton $h^* = lab^*h = 354/360 = 0.982$

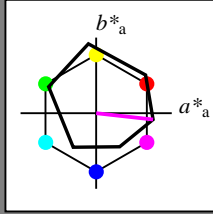
lab*tch und lab*nch

D65: Bunnton M

LCH*Ma: 48 76 354

olv*Ma: 1.0 0.0 1.0

Dreiecks-Helligkeit t^*



ORS18a; adaptierte CIELAB-Daten

	$L^*=L^*_a$	a^*_a	b^*_a	$C^*_{ab,a}$	$h^*_{ab,a}$
O _{Ma}	47.94	65.39	50.52	82.63	38
Y _{Ma}	90.37	-10.26	91.75	92.32	96
L _{Ma}	50.9	-62.83	34.96	71.91	151
C _{Ma}	58.62	-30.34	-45.01	54.3	236
V _{Ma}	25.72	31.1	-44.4	54.22	305
M _{Ma}	48.13	75.28	-8.36	75.74	354
N _{Ma}	18.01	0.0	0.0	0.0	0
W _{Ma}	95.41	0.0	0.0	0.0	0
RCIE	39.92	58.66	26.98	64.57	25
JCIE	81.26	-2.16	67.76	67.79	92
GCIE	52.23	-42.25	11.76	43.87	164
BCIE	30.57	1.15	-46.84	46.86	271

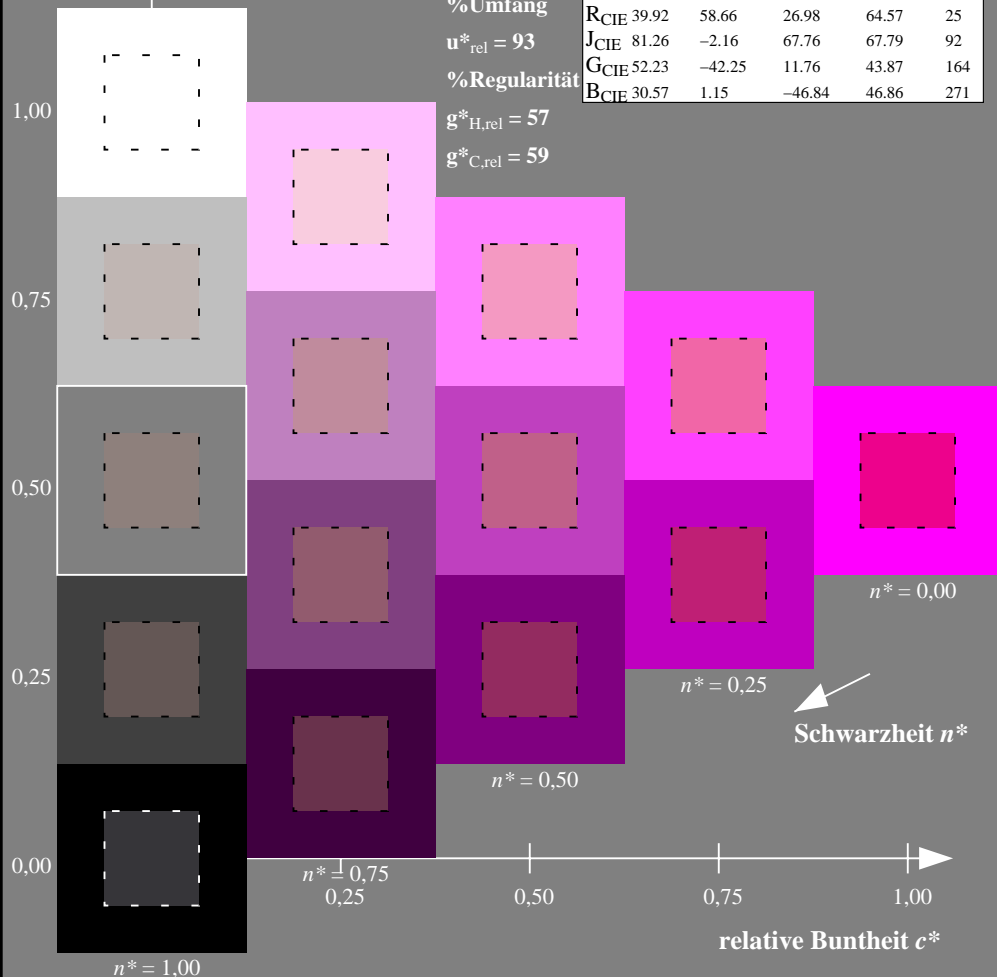
%Umfang

$u^*_{rel} = 93$

%Regularität

$g^*_{H,rel} = 57$

$g^*_{C,rel} = 59$



XG620-7N, stufige Reihen für konstanten CIELAB Bunnton 354/360 = 0.982 (links)

Ausgabe: Farbmetrisches Offset-Refektiv-System ORS18a

für Bunnton $h^* = lab^*h = 354/360 = 0.982$

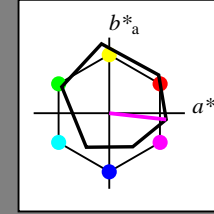
lab*tch und lab*nch

D65: Bunnton M

LCH*Ma: 48 76 354

olv*Ma: 1.0 0.0 1.0

Dreiecks-Helligkeit t^*



ORS18a; adaptierte CIELAB-Daten

	$L^*=L^*_a$	a^*_a	b^*_a	$C^*_{ab,a}$	$h^*_{ab,a}$
O _{Ma}	47.94	65.39	50.52	82.63	38
Y _{Ma}	90.37	-10.26	91.75	92.32	96
L _{Ma}	50.9	-62.83	34.96	71.91	151
C _{Ma}	58.62	-30.34	-45.01	54.3	236
V _{Ma}	25.72	31.1	-44.4	54.22	305
M _{Ma}	48.13	75.28	-8.36	75.74	354
N _{Ma}	18.01	0.0	0.0	0.0	0
W _{Ma}	95.41	0.0	0.0	0.0	0
RCIE	39.92	58.66	26.98	64.57	25
JCIE	81.26	-2.16	67.76	67.79	92
GCIE	52.23	-42.25	11.76	43.87	164
BCIE	30.57	1.15	-46.84	46.86	271

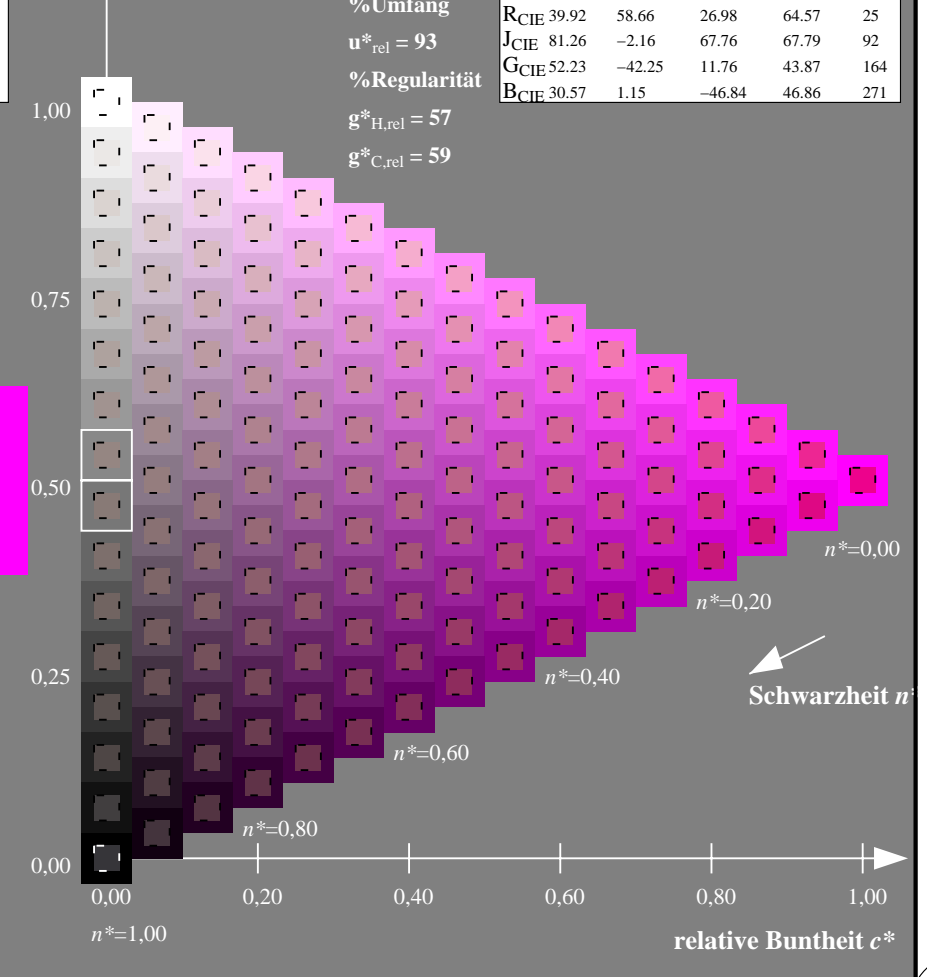
%Umfang

$u^*_{rel} = 93$

%Regularität

$g^*_{H,rel} = 57$

$g^*_{C,rel} = 59$



16stufige Reihen für konstanten CIELAB Bunnton 354/360 = 0.982 (rechts)

Eingabe: Farbmétrisches Offset-Reflektiv-System ORS18a

für Bunnton $h^* = lab^*h = 25/360 = 0.069$

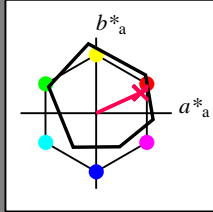
lab^*tch und lab^*nch

D65: Bunnton R

LCH*Ma: 48 75 25

olv*Ma: 1.0 0.0 0.32

Dreiecks-Helligkeit t^*



ORS18a; adaptierte CIELAB-Daten

	$L^*=L^*_a$	a^*_a	b^*_a	$C^*_{ab,a}$	$h^*_{ab,a}$
O _{Ma}	47.94	65.39	50.52	82.63	38
Y _{Ma}	90.37	-10.26	91.75	92.32	96
L _{Ma}	50.9	-62.83	34.96	71.91	151
C _{Ma}	58.62	-30.34	-45.01	54.3	236
V _{Ma}	25.72	31.1	-44.4	54.22	305
M _{Ma}	48.13	75.28	-8.36	75.74	354
N _{Ma}	18.01	0.0	0.0	0.0	0
W _{Ma}	95.41	0.0	0.0	0.0	0
RCIE	39.92	58.66	26.98	64.57	25
J _{CIE}	81.26	-2.16	67.76	67.79	92
G _{CIE}	52.23	-42.25	11.76	43.87	164
BCIE	30.57	1.15	-46.84	46.86	271

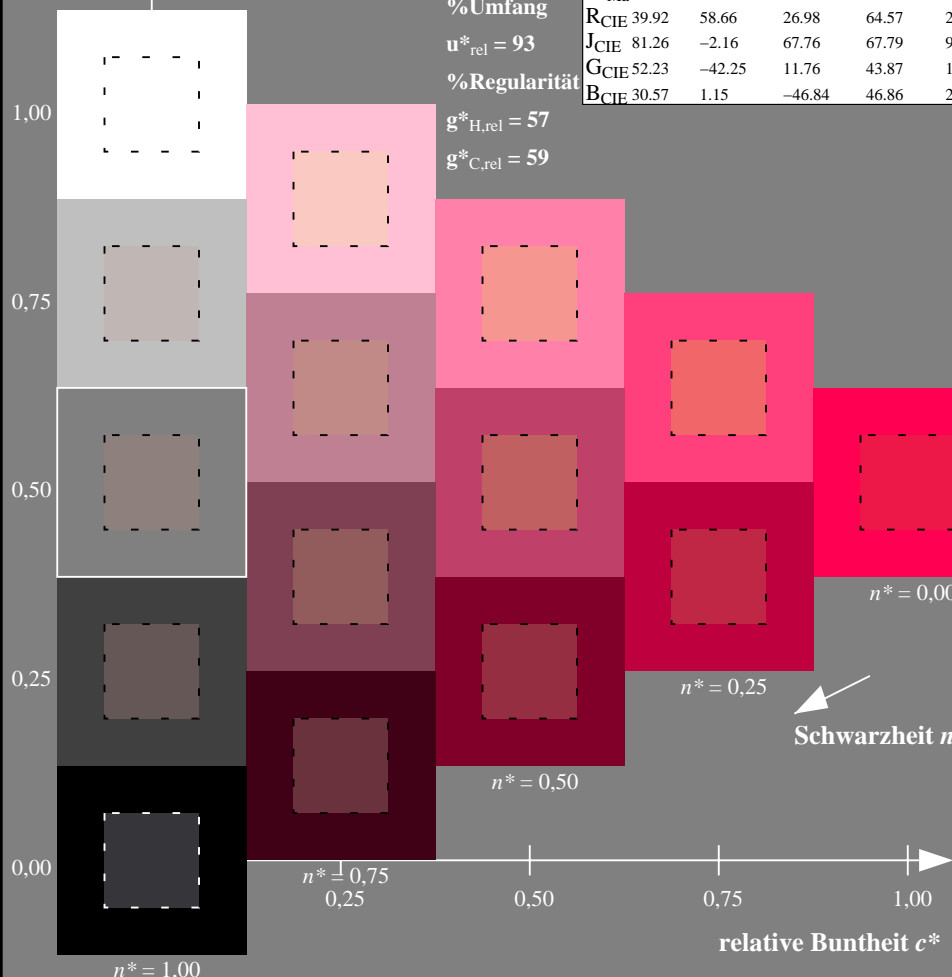
%Umfang

$u^*_{rel} = 93$

%Regularität

$g^*_{H,rel} = 57$

$g^*_{C,rel} = 59$



XG620-7N, stufige Reihen für konstanten CIELAB Bunnton 25/360 = 0.069 (links)

BAM-Prüfvorlage XG62; Relative Farbwiedergabe, ORS18
 Gleichheit für zwei Farbdefinitionen, Seite 7/11 (R)

Ausgabe: Farbmétrisches Offset-Reflektiv-System ORS18a

für Bunnton $h^* = lab^*h = 25/360 = 0.069$

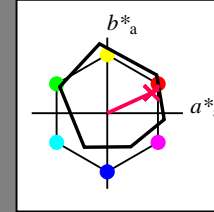
lab^*tch und lab^*nch

D65: Bunnton R

LCH*Ma: 48 75 25

olv*Ma: 1.0 0.0 0.32

Dreiecks-Helligkeit t^*



ORS18a; adaptierte CIELAB-Daten

	$L^*=L^*_a$	a^*_a	b^*_a	$C^*_{ab,a}$	$h^*_{ab,a}$
O _{Ma}	47.94	65.39	50.52	82.63	38
Y _{Ma}	90.37	-10.26	91.75	92.32	96
L _{Ma}	50.9	-62.83	34.96	71.91	151
C _{Ma}	58.62	-30.34	-45.01	54.3	236
V _{Ma}	25.72	31.1	-44.4	54.22	305
M _{Ma}	48.13	75.28	-8.36	75.74	354
N _{Ma}	18.01	0.0	0.0	0.0	0
W _{Ma}	95.41	0.0	0.0	0.0	0
RCIE	39.92	58.66	26.98	64.57	25
J _{CIE}	81.26	-2.16	67.76	67.79	92
G _{CIE}	52.23	-42.25	11.76	43.87	164
BCIE	30.57	1.15	-46.84	46.86	271

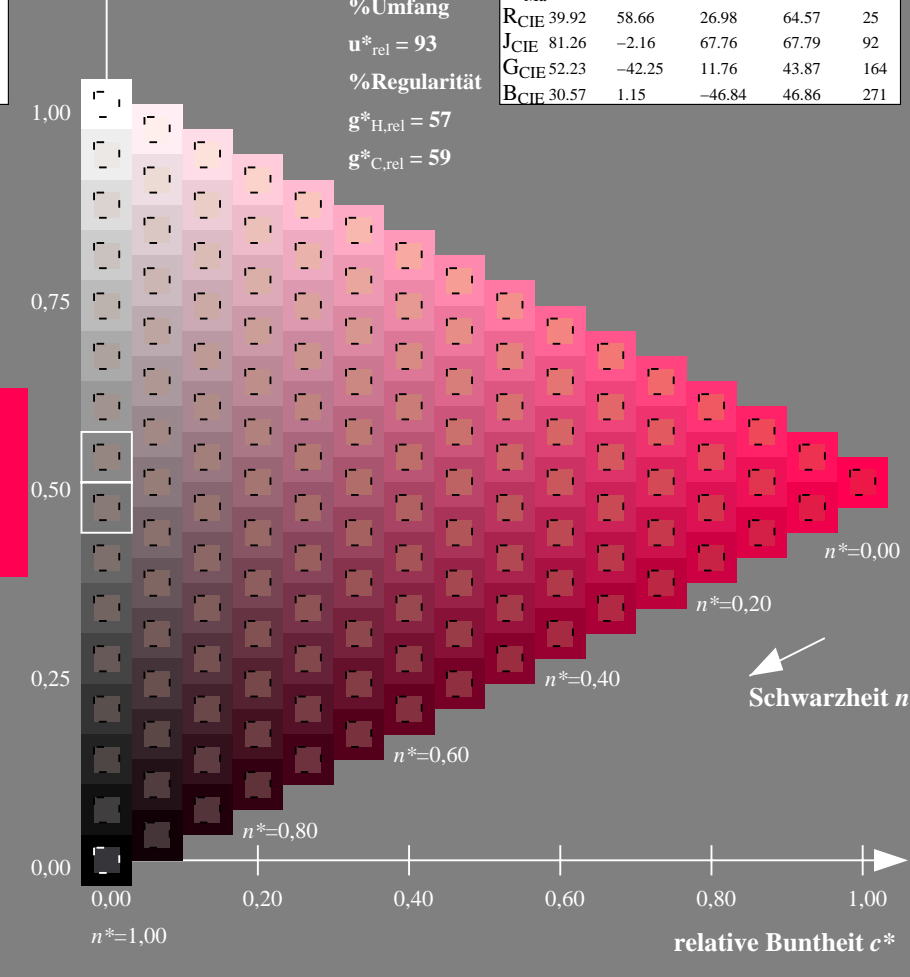
%Umfang

$u^*_{rel} = 93$

%Regularität

$g^*_{H,rel} = 57$

$g^*_{C,rel} = 59$



16stufige Reihen für konstanten CIELAB Bunnton 25/360 = 0.069 (rechts)

Eingabe: *cmY0*-Infeld, *rgb*-Umfeld
 Ausgabe: keine Eingabeänderung

Siehe ähnliche Dateien: <http://www.ps.bam.de/XG62/>; www.ps.bam.de/XG.HTM
 Technische Information: [http://www.ps.bam.de/Version 2.1, 10-1, 1](http://www.ps.bam.de/Version%202.1,%2010-1,1)

BAM-Registrierung: 20070301-XG62/10P/P62G06NA.PS/.TXT BAM-Material: Code=rh4ta
 Anwendung für Ausgabe von Monitor-, Datenprojektor- oder Druckersystemen

Eingabe: Farbmetrisches Offset-Refektiv-System ORS18a

für Bunnton $h^* = lab^*h = 92/360 = 0.255$

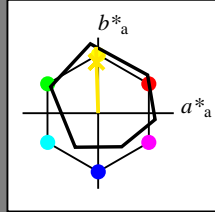
lab^*tch und lab^*nch

D65: Bunnton J

LCH*Ma: 86 88 92

olv*Ma: 1.0 0.9 0.0

Dreiecks-Helligkeit t^*



ORS18a; adaptierte CIELAB-Daten

	$L^*=L^*_a$	a^*_a	b^*_a	$C^*_{ab,a}$	$h^*_{ab,a}$
O _{Ma}	47.94	65.39	50.52	82.63	38
Y _{Ma}	90.37	-10.26	91.75	92.32	96
L _{Ma}	50.9	-62.83	34.96	71.91	151
C _{Ma}	58.62	-30.34	-45.01	54.3	236
V _{Ma}	25.72	31.1	-44.4	54.22	305
M _{Ma}	48.13	75.28	-8.36	75.74	354
N _{Ma}	18.01	0.0	0.0	0.0	0
W _{Ma}	95.41	0.0	0.0	0.0	0
RCIE	39.92	58.66	26.98	64.57	25
J _{CIE}	81.26	-2.16	67.76	67.79	92
G _{CIE}	52.23	-42.25	11.76	43.87	164
BCIE	30.57	1.15	-46.84	46.86	271

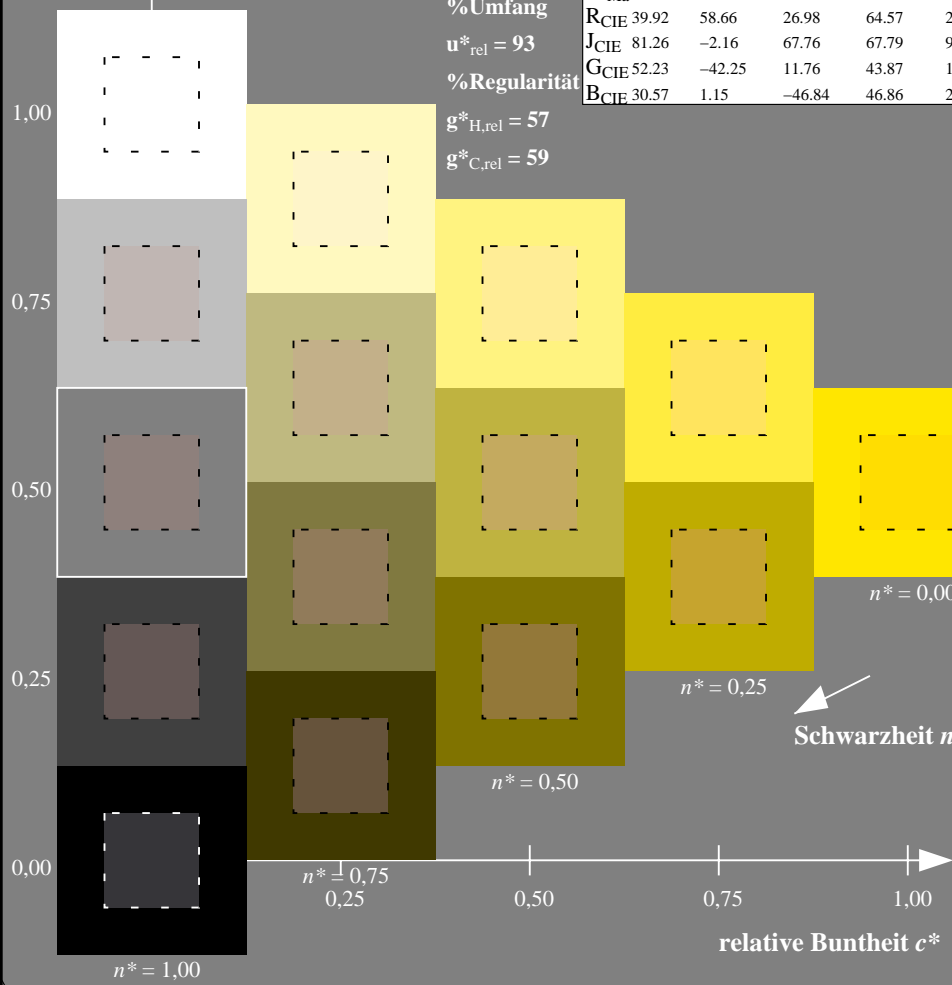
%Umfang

$u^*_{rel} = 93$

%Regularität

$g^*_{H,rel} = 57$

$g^*_{C,rel} = 59$



Ausgabe: Farbmetrisches Offset-Refektiv-System ORS18a

für Bunnton $h^* = lab^*h = 92/360 = 0.255$

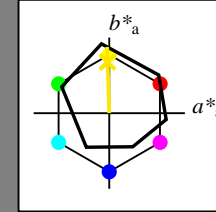
lab^*tch und lab^*nch

D65: Bunnton J

LCH*Ma: 86 88 92

olv*Ma: 1.0 0.9 0.0

Dreiecks-Helligkeit t^*



ORS18a; adaptierte CIELAB-Daten

	$L^*=L^*_a$	a^*_a	b^*_a	$C^*_{ab,a}$	$h^*_{ab,a}$
O _{Ma}	47.94	65.39	50.52	82.63	38
Y _{Ma}	90.37	-10.26	91.75	92.32	96
L _{Ma}	50.9	-62.83	34.96	71.91	151
C _{Ma}	58.62	-30.34	-45.01	54.3	236
V _{Ma}	25.72	31.1	-44.4	54.22	305
M _{Ma}	48.13	75.28	-8.36	75.74	354
N _{Ma}	18.01	0.0	0.0	0.0	0
W _{Ma}	95.41	0.0	0.0	0.0	0
RCIE	39.92	58.66	26.98	64.57	25
J _{CIE}	81.26	-2.16	67.76	67.79	92
G _{CIE}	52.23	-42.25	11.76	43.87	164
BCIE	30.57	1.15	-46.84	46.86	271

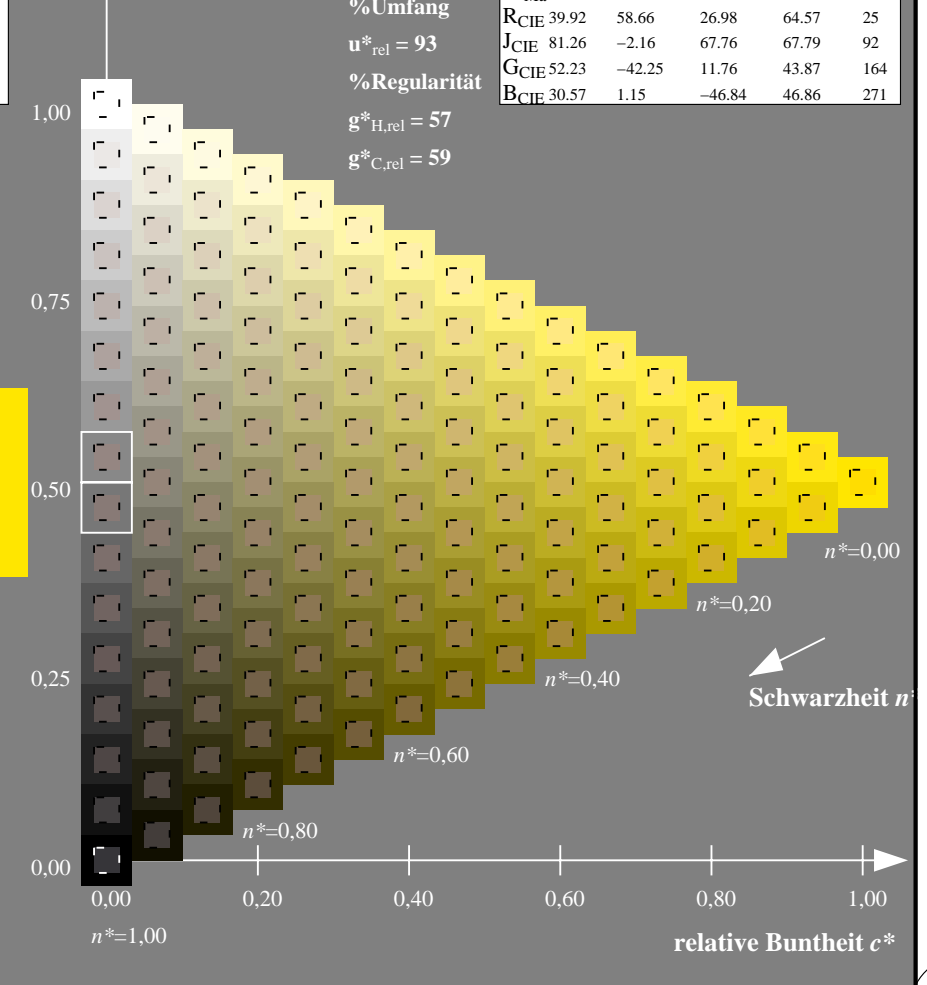
%Umfang

$u^*_{rel} = 93$

%Regularität

$g^*_{H,rel} = 57$

$g^*_{C,rel} = 59$



XG620-7N, stufige Reihen für konstanten CIELAB Bunnton 92/360 = 0.255 (links)

16stufige Reihen für konstanten CIELAB Bunnton 92/360 = 0.255 (rechts)

BAM-Prüfvorlage XG62; Relative Farbwiedergabe, ORS18
 Gleichheit für zwei Farbdefinitionen, Seite 8/11 (J)

Eingabe: $cmY0$ -Infeld, rgb -Umfeld
 Ausgabe: keine Eingabeänderung

Siehe ähnliche Dateien: <http://www.ps.bam.de/XG62/>; www.ps.bam.de/XG.HTM
 Technische Information: [http://www.ps.bam.de/Version 2.1, 10=1, 1](http://www.ps.bam.de/Version%202.1,10=1,1)

BAM-Registrierung: 20070301-XG62/10P/P62G07NA.PS/.TXT BAM-Material: Code=rh4ta
 Anwendung für Ausgabe von Monitor-, Datenprojektor- oder Druckersystemen

Eingabe: Farbmétrisches Offset-Reflektiv-System ORS18a

für Bunnton $h^* = lab^*h = 164/360 = 0.457$

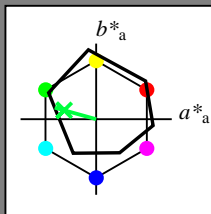
lab^*ch und lab^*ch

D65: Bunnton G

LCH*Ma: 53 57 164

olv*Ma: 0.0 1.0 0.25

Dreiecks-Helligkeit t^*



ORS18a; adaptierte CIELAB-Daten

	$L^*=L^*_a$	a^*_a	b^*_a	$C^*_{ab,a}$	$h^*_{ab,a}$
O _{Ma}	47.94	65.39	50.52	82.63	38
Y _{Ma}	90.37	-10.26	91.75	92.32	96
L _{Ma}	50.9	-62.83	34.96	71.91	151
C _{Ma}	58.62	-30.34	-45.01	54.3	236
V _{Ma}	25.72	31.1	-44.4	54.22	305
M _{Ma}	48.13	75.28	-8.36	75.74	354
N _{Ma}	18.01	0.0	0.0	0.0	0
W _{Ma}	95.41	0.0	0.0	0.0	0
RCIE	39.92	58.66	26.98	64.57	25
J _{CIE}	81.26	-2.16	67.76	67.79	92
G _{CIE}	52.23	-42.25	11.76	43.87	164
BCIE	30.57	1.15	-46.84	46.86	271

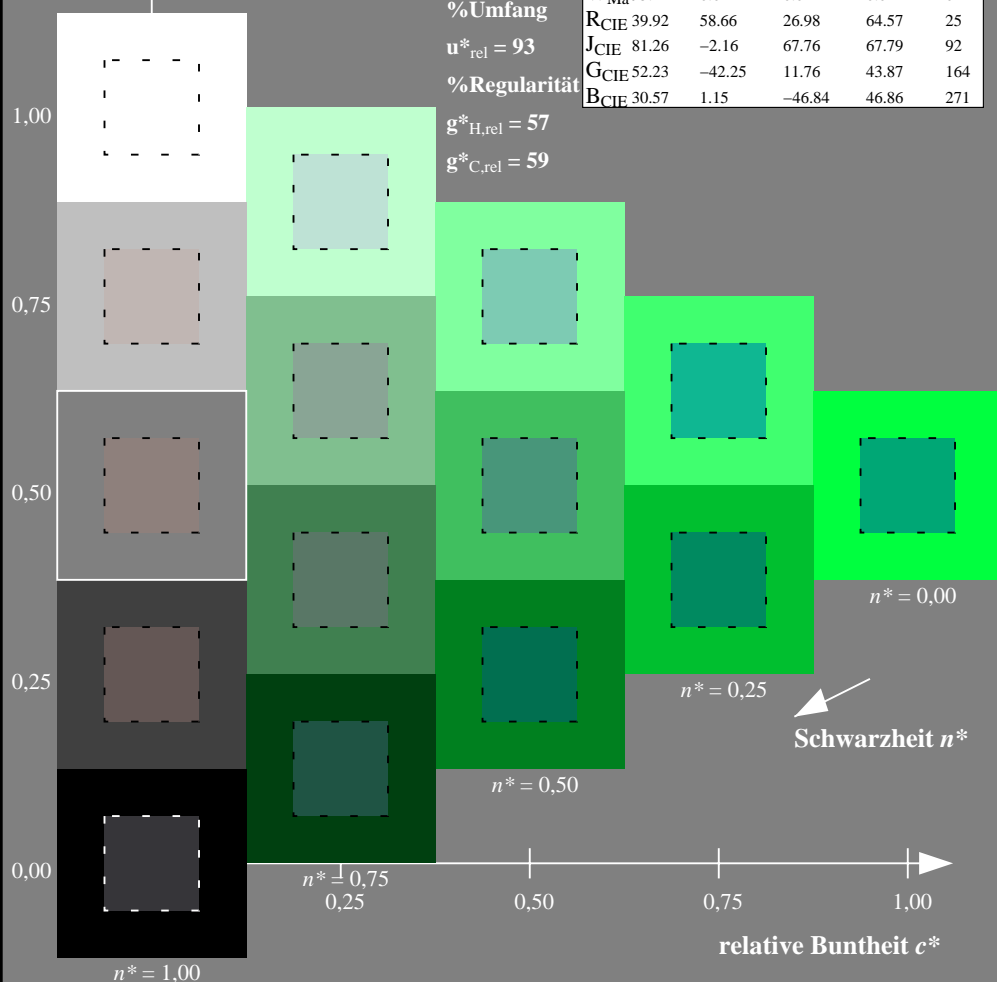
%Umfang

$u^*_{rel} = 93$

%Regularität

$g^*_{H,rel} = 57$

$g^*_{C,rel} = 59$



XG620-7N, stufige Reihen für konstanten CIELAB Bunnton 164/360 = 0.457 (links)

Ausgabe: Farbmétrisches Offset-Reflektiv-System ORS18a

für Bunnton $h^* = lab^*h = 164/360 = 0.457$

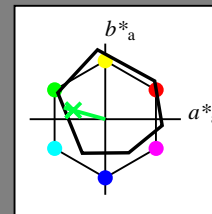
lab^*ch und lab^*ch

D65: Bunnton G

LCH*Ma: 53 57 164

olv*Ma: 0.0 1.0 0.25

Dreiecks-Helligkeit t^*



ORS18a; adaptierte CIELAB-Daten

	$L^*=L^*_a$	a^*_a	b^*_a	$C^*_{ab,a}$	$h^*_{ab,a}$
O _{Ma}	47.94	65.39	50.52	82.63	38
Y _{Ma}	90.37	-10.26	91.75	92.32	96
L _{Ma}	50.9	-62.83	34.96	71.91	151
C _{Ma}	58.62	-30.34	-45.01	54.3	236
V _{Ma}	25.72	31.1	-44.4	54.22	305
M _{Ma}	48.13	75.28	-8.36	75.74	354
N _{Ma}	18.01	0.0	0.0	0.0	0
W _{Ma}	95.41	0.0	0.0	0.0	0
RCIE	39.92	58.66	26.98	64.57	25
J _{CIE}	81.26	-2.16	67.76	67.79	92
G _{CIE}	52.23	-42.25	11.76	43.87	164
BCIE	30.57	1.15	-46.84	46.86	271

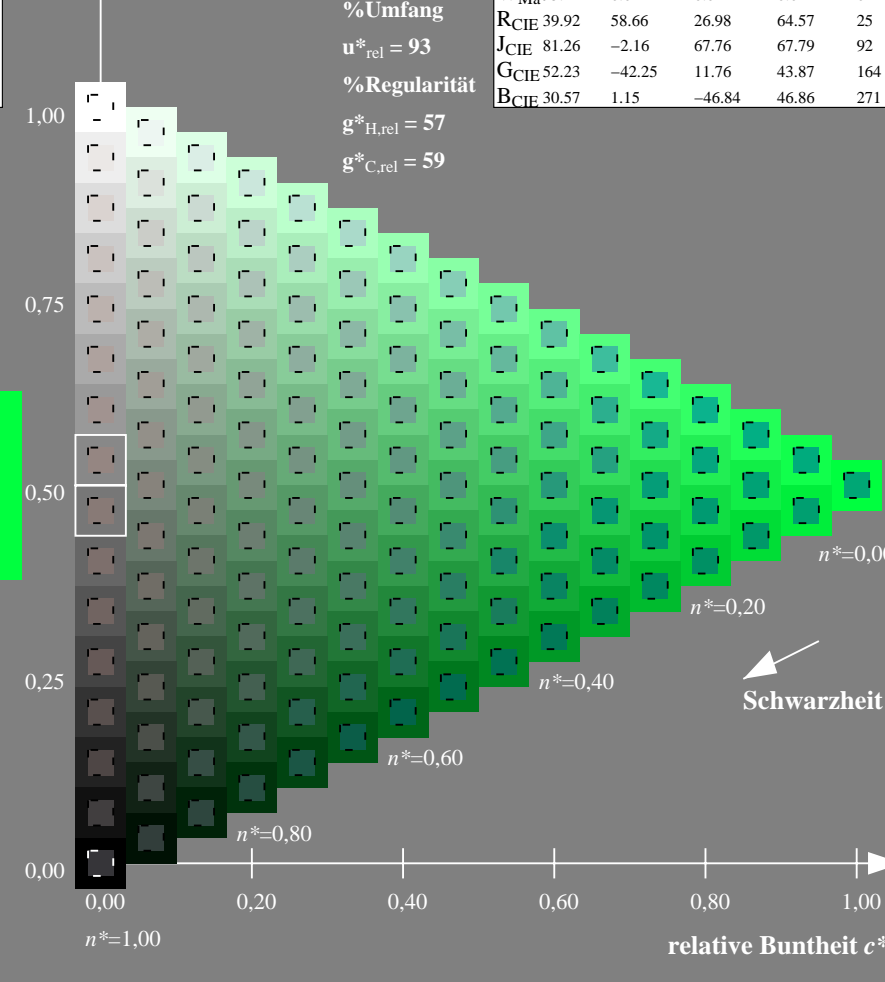
%Umfang

$u^*_{rel} = 93$

%Regularität

$g^*_{H,rel} = 57$

$g^*_{C,rel} = 59$



16stufige Reihen für konstanten CIELAB Bunnton 164/360 = 0.457 (rechts)

Eingabe: Farbmetrisches Offset-Refektiv-System ORS18a

für Bunnton $h^* = lab^*h = 271/360 = 0.754$

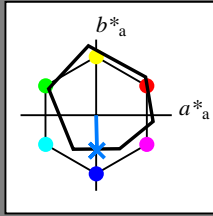
lab^*ch und lab^*ch

D65: Bunnton B

LCH*Ma: 42 45 271

olv*Ma: 0.0 0.49 1.0

Dreiecks-Helligkeit t^*



ORS18a; adaptierte CIELAB-Daten

	$L^*=L^*_a$	a^*_a	b^*_a	$C^*_{ab,a}$	$h^*_{ab,a}$
O _{Ma}	47.94	65.39	50.52	82.63	38
Y _{Ma}	90.37	-10.26	91.75	92.32	96
L _{Ma}	50.9	-62.83	34.96	71.91	151
C _{Ma}	58.62	-30.34	-45.01	54.3	236
V _{Ma}	25.72	31.1	-44.4	54.22	305
M _{Ma}	48.13	75.28	-8.36	75.74	354
N _{Ma}	18.01	0.0	0.0	0.0	0
W _{Ma}	95.41	0.0	0.0	0.0	0
RCIE	39.92	58.66	26.98	64.57	25
J _{CIE}	81.26	-2.16	67.76	67.79	92
G _{CIE}	52.23	-42.25	11.76	43.87	164
BCIE	30.57	1.15	-46.84	46.86	271

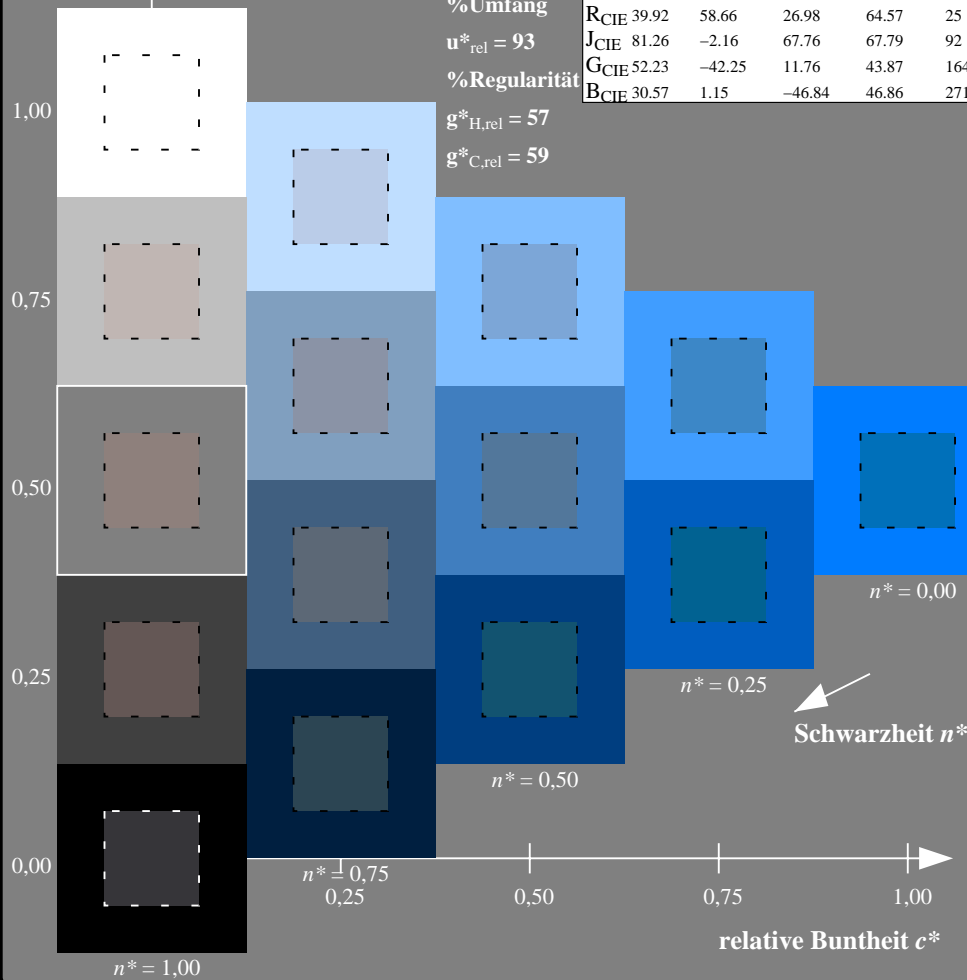
%Umfang

$u^*_{rel} = 93$

%Regularität

$g^*_{H,rel} = 57$

$g^*_{C,rel} = 59$



XG620-7N, stufige Reihen für konstanten CIELAB Bunnton 271/360 = 0.754 (links)

Ausgabe: Farbmetrisches Offset-Refektiv-System ORS18a

für Bunnton $h^* = lab^*h = 271/360 = 0.754$

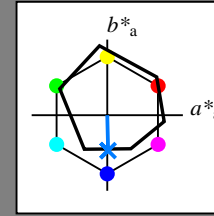
lab^*ch und lab^*ch

D65: Bunnton B

LCH*Ma: 42 45 271

olv*Ma: 0.0 0.49 1.0

Dreiecks-Helligkeit t^*



ORS18a; adaptierte CIELAB-Daten

	$L^*=L^*_a$	a^*_a	b^*_a	$C^*_{ab,a}$	$h^*_{ab,a}$
O _{Ma}	47.94	65.39	50.52	82.63	38
Y _{Ma}	90.37	-10.26	91.75	92.32	96
L _{Ma}	50.9	-62.83	34.96	71.91	151
C _{Ma}	58.62	-30.34	-45.01	54.3	236
V _{Ma}	25.72	31.1	-44.4	54.22	305
M _{Ma}	48.13	75.28	-8.36	75.74	354
N _{Ma}	18.01	0.0	0.0	0.0	0
W _{Ma}	95.41	0.0	0.0	0.0	0
RCIE	39.92	58.66	26.98	64.57	25
J _{CIE}	81.26	-2.16	67.76	67.79	92
G _{CIE}	52.23	-42.25	11.76	43.87	164
BCIE	30.57	1.15	-46.84	46.86	271

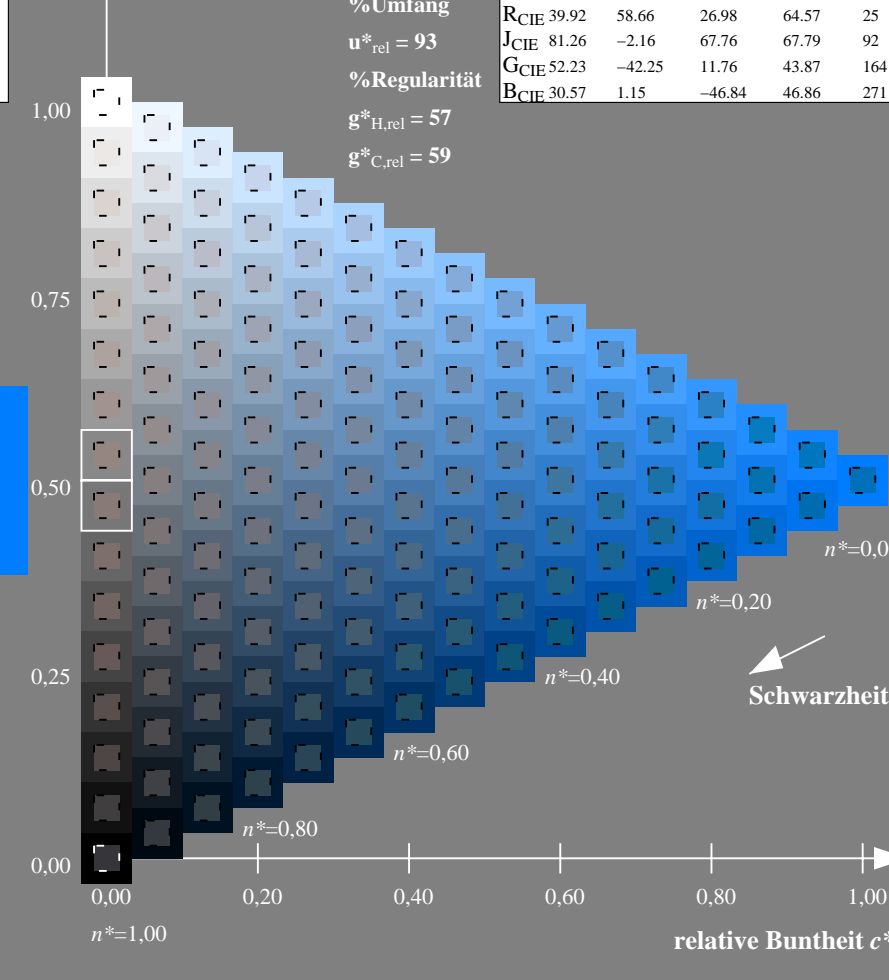
%Umfang

$u^*_{rel} = 93$

%Regularität

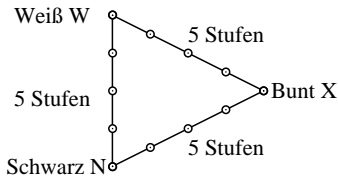
$g^*_{H,rel} = 57$

$g^*_{C,rel} = 59$



16stufige Reihen für konstanten CIELAB Bunnton 271/360 = 0.754 (rechts)

Gleichheit von 5stufigen Farbreihen mit zwei Definitionen (Ja/Nein-Entscheidung)



Es gibt drei Grundfarben auf jeder Seite:
Schwarz N, Weiß W und Bunt X
Zehn Seiten enthalten 10 Bunttonebenen
X = OYLCVM und RJGB
Jede Farbe ist definiert durch zwei verschiedene PS-Operatoren im In- und Umfeld

Alle Farben der drei Serien N-W, W-X and X-N sollten auf **allen** Seiten gleich sein

Sind die In- und Umfeldfarben auf allen Seiten gleich? **unterstreiche: Ja/Nein**

Nur falls Nein:

Wieviel der 3x4=12 Stufen sind gleich?

- Seite 1: gleich sind von 12 Stufen: Stufen von O = Orangerot
- Seite 2: gleich sind von 12 Stufen: Stufen von Y = Gelb
- Seite 3: gleich sind von 12 Stufen: Stufen von L = Laubgrün
- Seite 4: gleich sind von 12 Stufen: Stufen von C = Cyanblau
- Seite 5: gleich sind von 12 Stufen: Stufen von V = Violettblau
- Seite 6: gleich sind von 12 Stufen: Stufen von M = Magentarot
- Seite 7: gleich sind von 12 Stufen: Stufen von R = Elementarrot
- Seite 8: gleich sind von 12 Stufen: Stufen von J = Elementargelb
- Seite 9: gleich sind von 12 Stufen: Stufen von G = Elementargrün
- Seite 10: gleich sind von 12 Stufen: Stufen von B = Elementarblau

Summe: Von gegebenen 3x4x10=120 Stufen sind Stufen gleich

Teil 1

XG620-3

Dokumentation von Dateiformat, Hard- und Software für diese Prüfung:

PDF-Datei: entweder www.ps.bam.de/XG62/10L/L62G00NP.PDF **unterstreiche Ja/Nein**
oder www.ps.bam.de/XG62/10P/P62G00NP.PDF **oder unterstreiche Ja/Nein**
PS-Datei: entweder www.ps.bam.de/XG62/10L/L62G00NA.PS **oder unterstreiche Ja/Nein**
oder www.ps.bam.de/XG62/10P/P62G00NA.PS **oder unterstreiche Ja/Nein**

benutztes Rechner-Betriebssystem:

nur eines von Windows/Mac/Unix/anderes und Version:.....

Die Beurteilung ist für die Geräteausgabe: **unterstreiche Monitor/Datenprojektor/Drucker**

Geräte-Modell, -Treiber und -Version:.....

Geräteausgabe mit PDF/PS-Datei: **unterstreiche PDF-/PS-Datei**

Für Geräteausgabe mit PDF-Datei (L/P)62G00NP.PDF:

- entweder PDF-Dateitransfer "download, copy" nach PDF-Gerät.....
- oder mit Rechnersystem-Interpretation durch "Display-PDF":.....
- oder mit Software, z. B. Adobe-Reader/-Acrobat und Version:.....
- oder mit Software, z. B. Ghostscript und Version:.....

Für Geräteausgabe mit PS-Datei (L/P)62G00NA.PS:

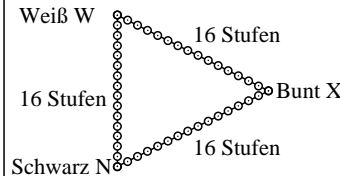
- entweder PS-Dateitransfer "download, copy" nach PS-Gerät.....
- oder mit Rechnersystem-Interpretation durch "Display-PS":.....
- oder mit Software, z. B. Ghostscript und Version:.....
- oder mit Software, z. B. Mac-Yap und Version:.....

Spezielle Anmerkungen, z. B. Ausgabe von Landschaftsdatei (L) L62G00NA.PS wurde abgeschnitten, Porträtdatei (P) P62G00NA.PS wurde benutzt:.....

Teil 3

XG620-5

Gleichheit von 16stufigen Farbreihen mit zwei Definitionen (Ja/Nein-Entscheidung)



Es gibt drei Grundfarben auf jeder Seite:
Schwarz N, Weiß W und Bunt X
Zehn Seiten enthalten 10 Bunttonebenen
X = OYLCVM und RJGB
Jede Farbe ist definiert durch zwei verschiedene PS-Operatoren im In- und Umfeld

Alle Farben der drei Serien N-W, W-X and X-N sollten auf **allen** Seiten gleich sein

Sind die In- und Umfeldfarben auf allen Seiten gleich? **unterstreiche: Ja/Nein**

Nur falls Nein:

Wieviel der 3x15=45 Stufen sind gleich?

- Seite 1: gleich sind von 45 Stufen: Stufen von O = Orangerot
- Seite 2: gleich sind von 45 Stufen: Stufen von Y = Gelb
- Seite 3: gleich sind von 45 Stufen: Stufen von L = Laubgrün
- Seite 4: gleich sind von 45 Stufen: Stufen von C = Cyanblau
- Seite 5: gleich sind von 45 Stufen: Stufen von V = Violettblau
- Seite 6: gleich sind von 45 Stufen: Stufen von M = Magentarot
- Seite 7: gleich sind von 45 Stufen: Stufen von R = Elementarrot
- Seite 8: gleich sind von 45 Stufen: Stufen von J = Elementargelb
- Seite 9: gleich sind von 45 Stufen: Stufen von G = Elementargrün
- Seite 10: gleich sind von 45 Stufen: Stufen von B = Elementarblau

Summe: Von gegebenen 3x15x10=450 Stufen sind Stufen gleich

Teil 2

XG621-3

Dokumentation der Beurteiler-Farbseheigenschaften für diese Prüfung:

Der Beurteiler hat **normales** Farbsehen nach einer Prüfung: **unterstreiche Ja/Nein**
entweder nach DIN 6160 mit Anomaloskop nach *Nagel* **unterstreiche Ja/unbekannt**
oder mit Farbpunkt-Prüftafeln nach *Ishihara* **unterstreiche Ja/unbekannt**
oder mit, bitte nennen:..... **unterstreiche Ja/unbekannt**

Nur für Display(Monitor, Daten-Projektor)-Ausgabe:

Büro-Arbeitsplatz-Beleuchtung ist Tageslicht (bedeckter/Nordhimmel) **unterstreiche Ja/Nein**
PDF-Dateiausgabe mit www.ps.bam.de/XG75/10L/L75G00NP.PDF **unterstreiche Ja/Nein**
Vergleich des Kontrastbereichs der 16 Stufen F bis 0 mit Prüfvorlage Nr. 3 von DIN 33866-1
Nenne Kontrastbereich: (>F:0) (F:0) (E:0) (D:0) (C:0) (A:0) (9:0) (7:0) (5:0) (3:0) (<3:0)

*Anmerkung: Bei Tageslichtbürobeleuchtung ist der Kontrastbereich oft:
auf Papier zwischen: >F:0 (Hochglanz), F:0 (Seidenglanz) und E:0 (Matt)
am Display zwischen: >F:0 und E:0 (Monitor), D:0 und 3:0 (Datenprojektor)*

Nur für optionale farbmimetrische Kennzeichnung mit PDF/PS-Dateiausgabe

PDF-Datei: entweder www.ps.bam.de/XG26/10L/L26G00NP.PDF **unterstreiche Ja/Nein**
oder www.ps.bam.de/XG26/10P/P26G00NP.PDF **oder unterstreiche Ja/Nein**
PS-Datei: entweder www.ps.bam.de/XG26/10L/L26G00NA.PS **oder unterstreiche Ja/Nein**
oder www.ps.bam.de/XG26/10P/P26G00NA.PS **oder unterstreiche Ja/Nein**

Farbmessung und Kennzeichnung für:

CIE-Normlichtart D65, CIE-2-Grad-Beobachter, CIE-45/0-Geometrie **unterstreiche Ja/Nein**
Wenn Nein, bitte andere Parameter nennen:

Farbmimetrische Kennzeichnung mit PS-Datei für Farben der Spalten A bis T

Ersatz der CIELAB-Daten in Datei www.ps.bam.de/XG30/10L/L30G00NP.PS und Transfer der PS-Datei L30G00NP.PS in PDF-Datei L30G00NP.PDF **unterstreiche Ja/Nein**
Wenn Nein, bitte andere Methode beschreiben:

Teil 4

XG621-5